



LLUVIAS



CENEPRED

Centro Nacional de Estimación, Prevención y
Reducción del Riesgo de Desastres

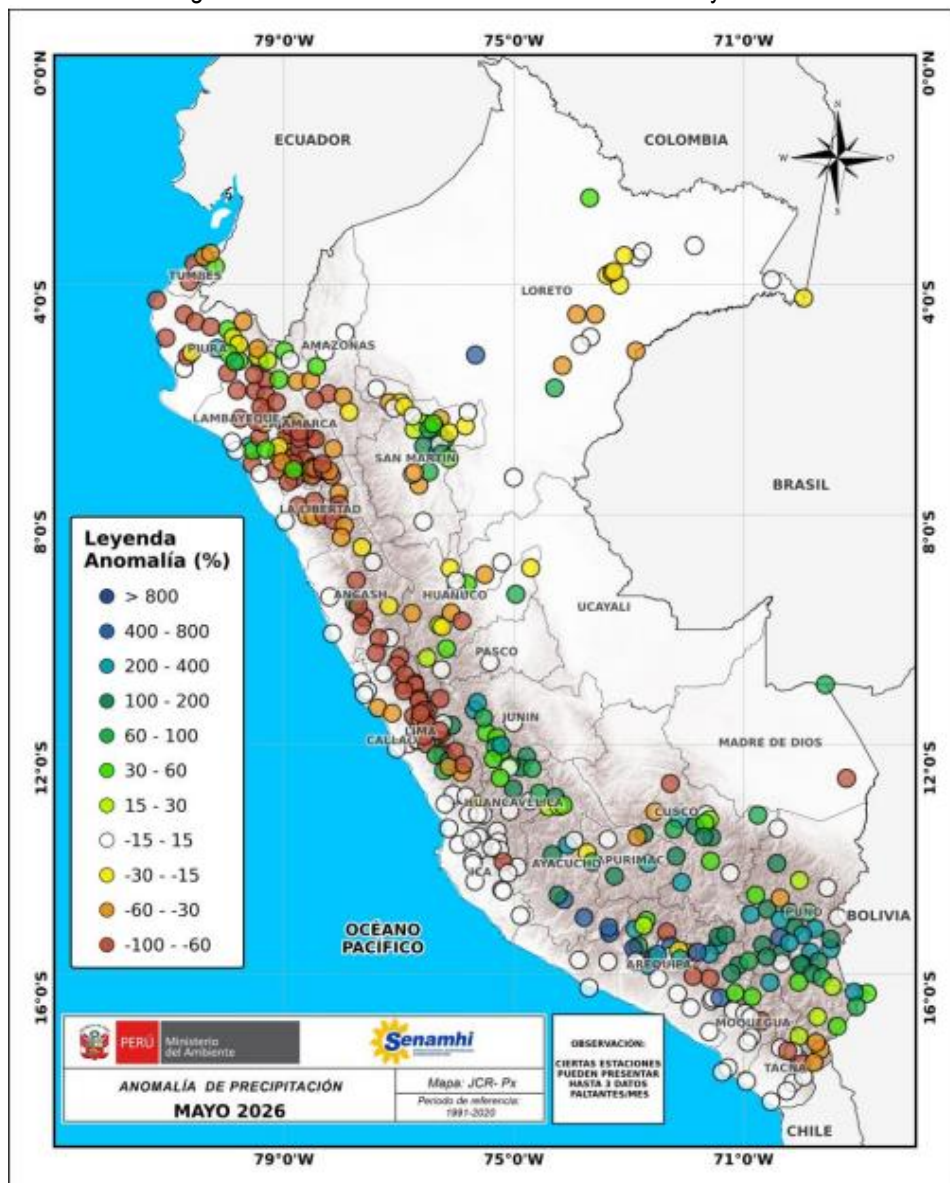
**ESTUDIO DE ESCENARIO DE RIESGO
ANTE EL PRONÓSTICO DE
LLUVIA EN LA SELVA
(EXTENSIÓN DEL AVISO 228)
DEL 14 JUNIO DE 2026**

I. COMPORTAMIENTO DE LAS PRECIPITACIONES A NIVEL NACIONAL

Durante mayo de 2026, las precipitaciones en el país mostraron un comportamiento mixto. La costa norte, la sierra norte y central presentaron deficiencias de precipitación, mientras que la sierra sur reportó valores por encima de su normal climática, con anomalías positivas de entre +15% y +100%. Este superávit en el sur estuvo determinado, principalmente, por el evento extremo de lluvias registrado el 24 de mayo.

Por otro lado, la Amazonía exhibió un comportamiento variable, caracterizada por deficiencias en algunas estaciones de Loreto y San Martín, contrastando con excedentes en otros puntos de estos mismos departamentos y de Huánuco.

Figura 1: Frecuencia e Intensidad de lluvias de mayo 2026.



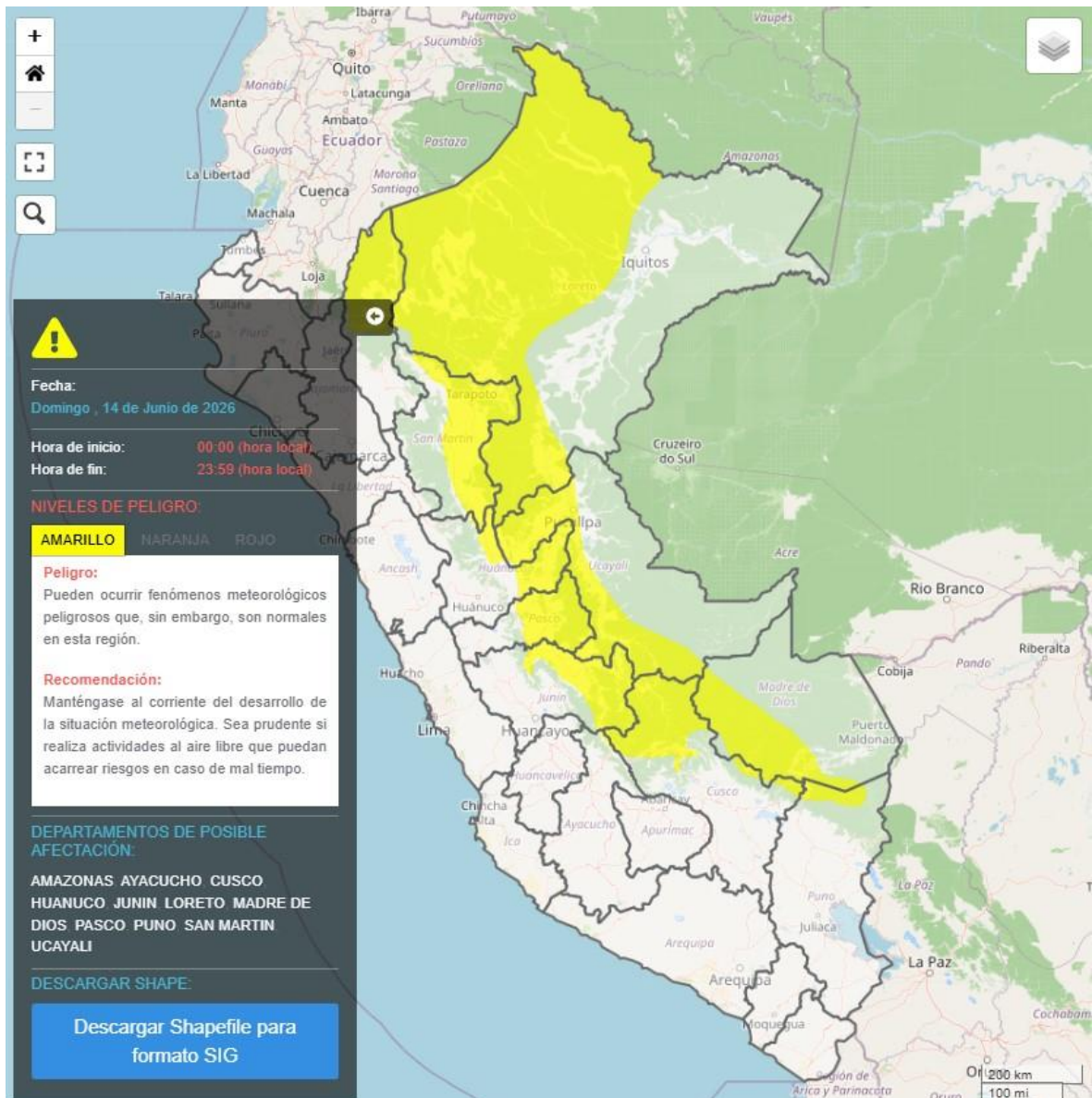
Fuente: SENAMHI (Mayo, 2026).

II. PERSPECTIVAS

El SENAMHI informa que, durante el domingo 14 de junio continuarán las lluvias de ligera a moderada intensidad, en la selva. Esta lluvia estará acompañada de descargas eléctricas y ráfagas de viento con velocidades cercanas a los 45 km/h.

El domingo 14 de junio se prevén acumulados de lluvia cercanos a los 30 mm/día en la selva norte, alrededor de los 25 mm/día en la selva centro y valores próximos a los 35 mm/día en la selva sur.

Figura 2. Pronóstico de lluvia en la selva del 14 de junio del 2026



Fuente: SENAMHI Aviso Meteorológico N°232

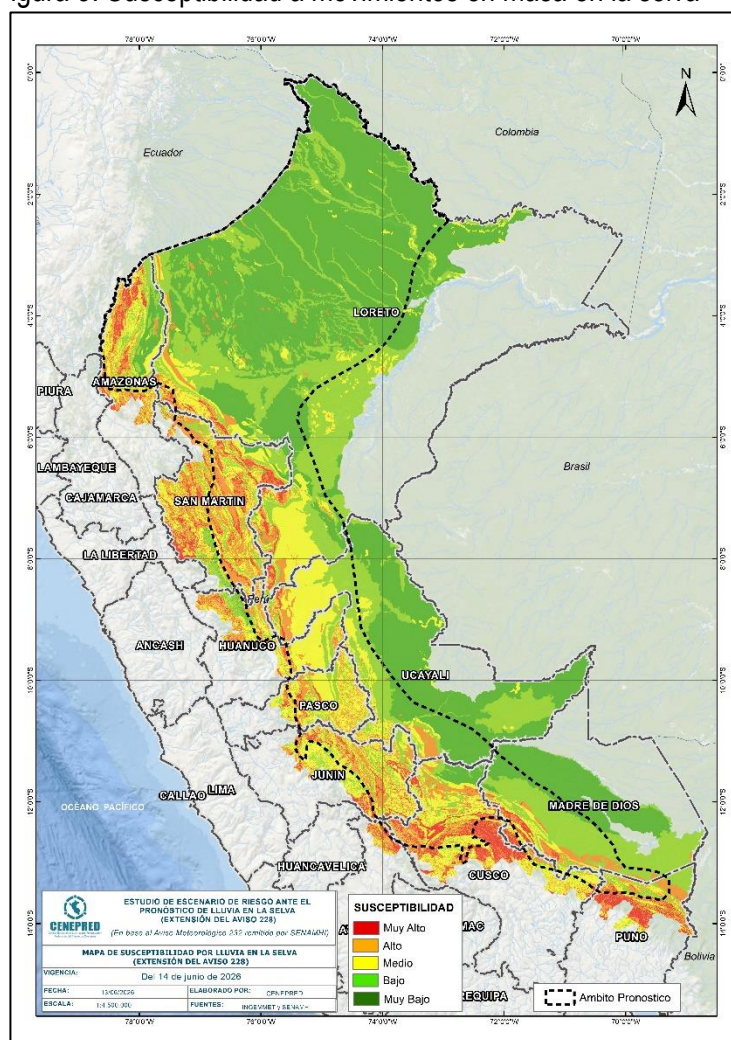
III. ESCENARIO DE RIESGO POR MOVIMIENTOS EN MASA

1 ANÁLISIS DE SUSCEPTIBILIDAD POR MOVIMIENTOS EN MASA

La probabilidad de la ocurrencia de lluvias de fuerte intensidad durante estos días, desencadenarían la posible presencia de deslizamientos, flujos de detritos (huaycos) u otro tipo de movimientos en masa, que traería consigo situaciones de riesgo. No obstante, no se descarta la presencia de estas en las zonas donde se prevé condiciones normales o de déficit de lluvias.

Para la identificación de los ámbitos con mayor propensión a estos eventos se ha tomado como base el Mapa de Susceptibilidad a Movimientos en Masa¹ (INGEMMET).

Figura 3. Susceptibilidad a movimientos en masa en la selva



Fuente: CENEPRED, elaborado con información del INGEMMET y SENAMHI

¹ Cabe destacar que los mapas de susceptibilidad por movimientos en masa, si bien identifican áreas donde se pueden generar potencialmente tales eventos, en ellos no figura la totalidad de zonas a ser afectadas, ni predicen cuando ocurrirán los procesos analizados (Ayala-Carcedo y Olcinas 2002).

2 ANÁLISIS DE EXPOSICIÓN SOCIOECONÓMICA

En el análisis de exposición socioeconómica, se consideró como unidad mínima de análisis el ámbito distrital. Las variables utilizadas son incidencia de pobreza, tasa de analfabetismo y tasa de desnutrición crónica infantil.

El valor de exposición se obtuvo mediante el análisis con sistemas de información geográfica (SIG), con la finalidad de poder representarlo cartográficamente.

Se estimó el valor de importancia (ponderación) de cada uno de los parámetros mediante el Proceso de Análisis Jerárquico (método de Saaty). Posteriormente, se determinó para cada parámetro los respectivos descriptores, representados por sus quintiles, estimándose también para estos una ponderación mediante el mismo método.

Este procedimiento se muestra en la Tabla 1, dando como resultado el valor de exposición para cada distrito.

Tabla 1. Matriz de ponderación utilizada para la evaluación de los niveles de exposición.

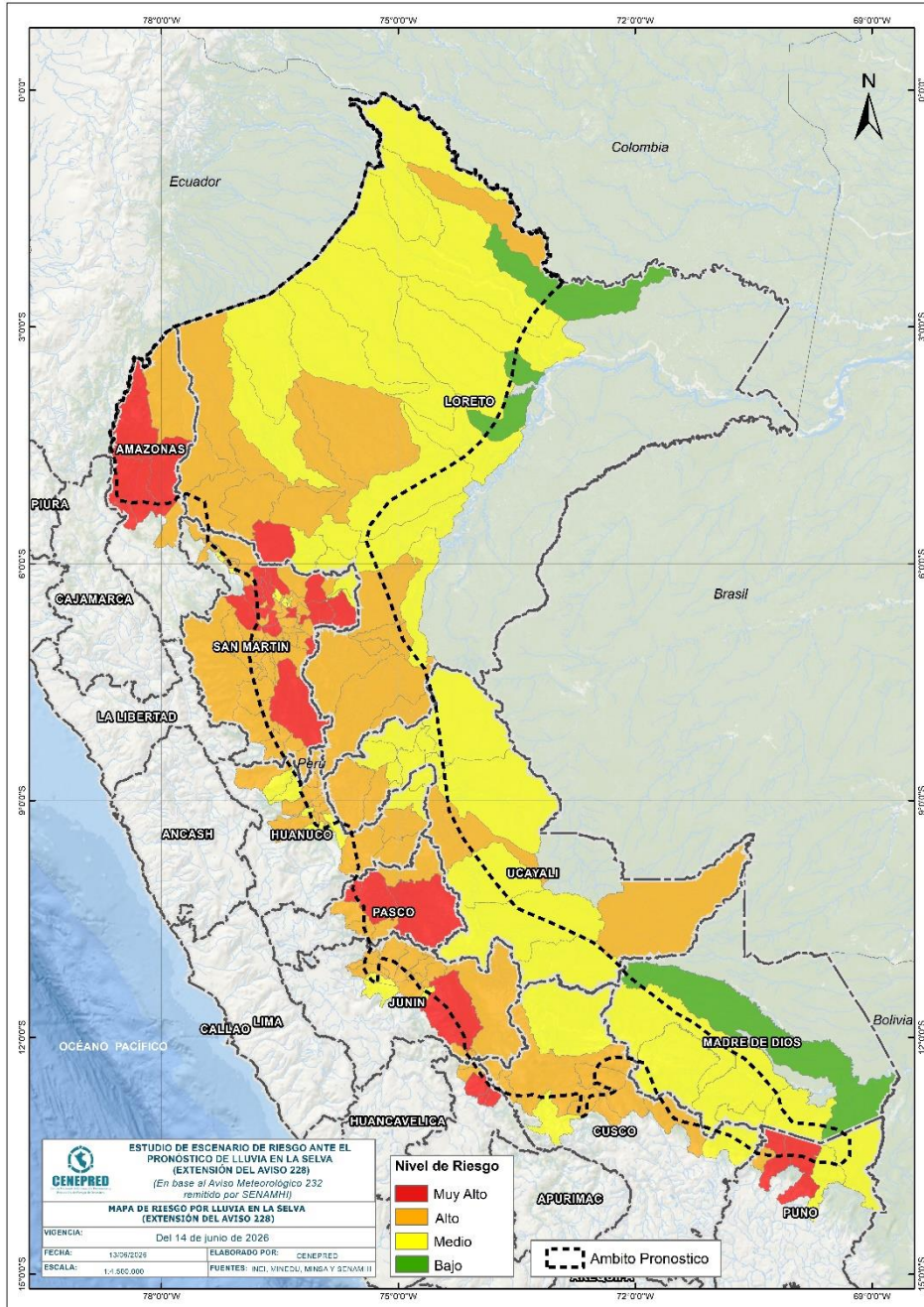
| Descriptor | Parámetros de evaluación | | | | | | | | | Valor de exposición | Rango | Nivel de exposición |
|------------|--------------------------|-------|-------|------------------------------|-------|-------|-----------------------|-------|-------|---------------------|--------------------|---------------------|
| | Incidencia de pobreza | Valor | Peso | Tasa de Desnutrición Crónica | Valor | Peso | Tasa de Analfabetismo | Valor | Peso | | | |
| D5 | Mayor a 63.8% | 0.459 | 0.608 | 34.2% a 61.7% | 0.416 | 0.272 | 20.8% a 45.5% | 0.432 | 0.120 | 0.444 | 0.262 < R =< 0.444 | Muy Alto |
| D4 | 50.7% a 63.7% | 0.259 | 0.608 | 26.0% a 34.1% | 0.262 | 0.272 | 14.1% a 20.7% | 0.283 | 0.120 | 0.262 | 0.153 < R =< 0.262 | Alto |
| D3 | 36.3% a 50.6% | 0.150 | 0.608 | 19% a 25.9% | 0.161 | 0.272 | 9.6% a 14.0% | 0.152 | 0.120 | 0.153 | 0.089 < R =< 0.153 | Medio |
| D2 | 21.8% a 36.2% | 0.085 | 0.608 | 9.1% a 18.9% | 0.099 | 0.272 | 5.4% a 9.5% | 0.086 | 0.120 | 0.089 | 0.051 < R =< 0.089 | Bajo |
| D1 | Menor a 21.8% | 0.047 | 0.608 | Menor a 9.1% | 0.062 | 0.272 | Menor a 5.4% | 0.048 | 0.120 | 0.051 | | |

Fuente: CENEPRED, elaborado con información del INEI y el MINSA.

3. ESCENARIO PROBABLE DE RIESGO POR MOVIMIENTOS EN MASA

Una vez identificado los niveles de susceptibilidad a movimientos en masa y los niveles de exposición de la población, a nivel distrital, se procede a la conjunción de ambos factores para el cálculo de la probabilidad del riesgo (Tabla 2).

Figura 4. Escenario de riesgo por movimientos en masa según el pronóstico de lluvia en la selva



Fuente: CENEPRED

Finalmente, se presentan los resultados del escenario de riesgo por movimientos en masa en la Tabla 2.

Tabla 2. Elementos expuestos por departamentos según su nivel de riesgo.

| Nivel de Riesgo | | Muy Alto | | | | | Alto | | | | |
|----------------------|------------|---------------------|----------------|---------------|-----------------|----------------------|--------------------|------------------|----------------|-----------------|----------------------|
| | | Elementos expuestos | | | | | | | | | |
| DEPARTAMENTOS | | Cantidad Distritos | Población | Viviendas | Establec. Salud | Instituc. Educativas | Cantidad Distritos | Población | Viviendas | Establec. Salud | Instituc. Educativas |
| 1 | AMAZONAS | 4 | 63.444 | 15.633 | 108 | 678 | 2 | 19.530 | 4.683 | 33 | 163 |
| 2 | AYACUCHO | 3 | 31.374 | 9.056 | 21 | 167 | 2 | 13.578 | 3.935 | 13 | 80 |
| 3 | CUSCO | 0 | 0 | 0 | 0 | 0 | 9 | 124.631 | 34.947 | 97 | 550 |
| 4 | HUANUCO | 0 | 0 | 0 | 0 | 0 | 12 | 98.554 | 27.470 | 72 | 465 |
| 5 | JUNIN | 1 | 54.240 | 13.786 | 46 | 465 | 11 | 257.157 | 68.259 | 164 | 1.252 |
| 6 | LORETO | 1 | 13.707 | 2.921 | 18 | 157 | 14 | 114.325 | 24.730 | 113 | 958 |
| 7 | PASCO | 3 | 28.890 | 7.566 | 61 | 360 | 5 | 58.580 | 15.649 | 65 | 283 |
| 8 | PUNO | 2 | 15.732 | 6.215 | 13 | 85 | 1 | 6.832 | 1.817 | 2 | 40 |
| 9 | SAN MARTIN | 16 | 129.855 | 32.625 | 84 | 555 | 44 | 412.289 | 107.581 | 305 | 1.233 |
| 10 | UCAYALI | 0 | 0 | 0 | 0 | 0 | 4 | 52.842 | 13.040 | 53 | 309 |
| TOTAL GENERAL | | 30 | 337.242 | 87.802 | 351 | 2.467 | 104 | 1.158.318 | 302.111 | 917 | 5.333 |

Fuente: CENEPRED, elaborado con la información del INEI*, MINSA** y MINEDU***

*INEI: Cálculo de población y vivienda según Censos Nacionales 2017: XII de Población y VII de Vivienda

**MINSA: Base RENIPRESS, junio 2026.

***MINEDU: ESCALE, junio 2026.

IV. ESCENARIO DE RIESGO POR INUNDACIONES

1 ANÁLISIS DE SUSCEPTIBILIDAD POR INUNDACIONES

La probabilidad de la ocurrencia de lluvias de fuerte intensidad durante estos días, desencadenarían la posible presencia de inundaciones, que traería consigo situaciones de riesgo. No obstante, no se descarta la presencia de estas en las zonas donde se prevé condiciones normales o de déficit de lluvias.

Para la identificación de los ámbitos con mayor propensión a estos eventos se consolidó los mapas de susceptibilidad a inundaciones a nivel regional, elaborado por el INGEMMET, los cuales consideran como factores condicionantes: la geomorfología y la pendiente del terreno.

Los ámbitos de susceptibilidad muy alta y alta se caracterizan principalmente por presentar llanuras aluviales, planicies, altiplanos, terrazas aluviales, entre otros.

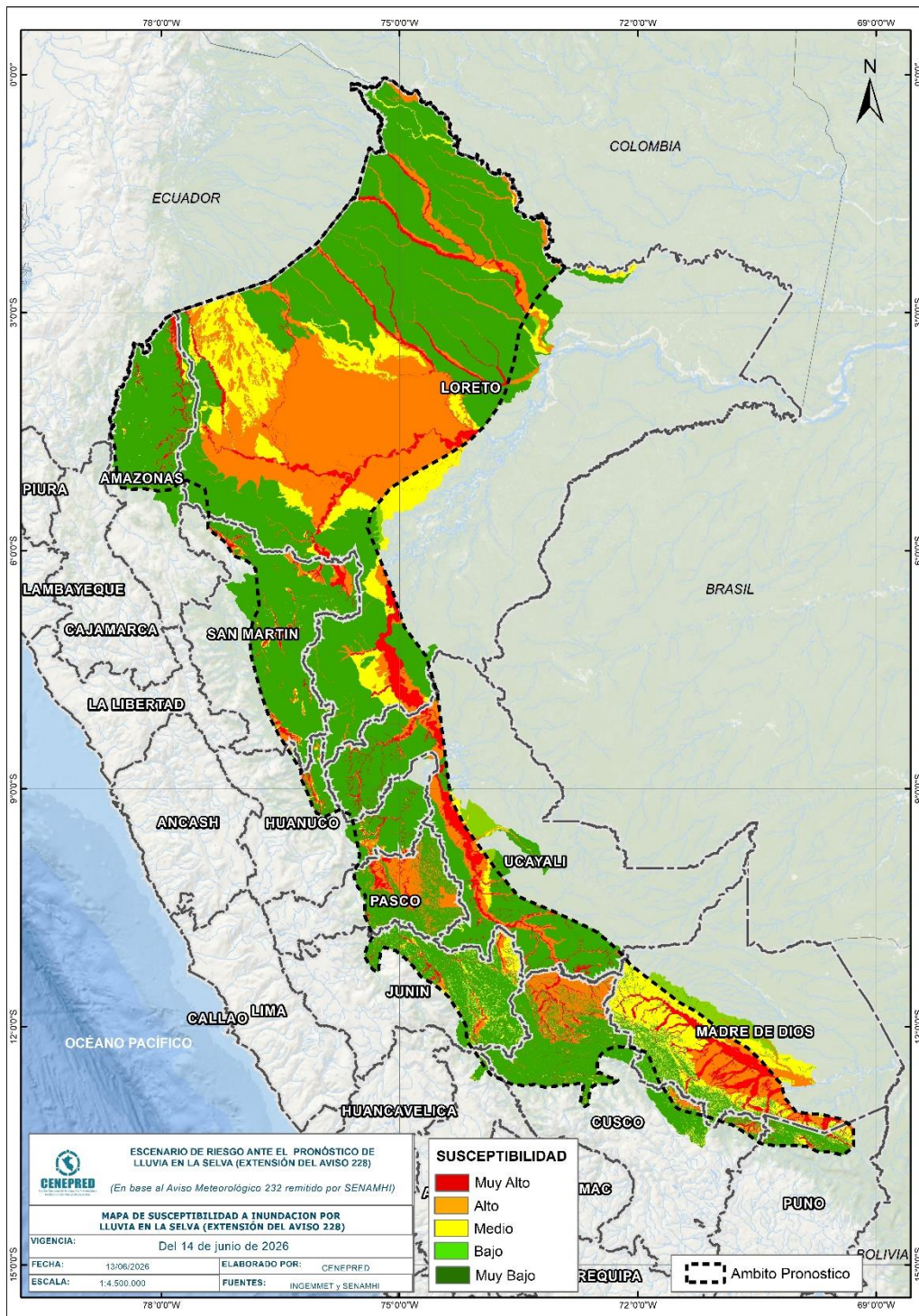
2 ESCENARIO PROBABLE DE RIESGO POR INUNDACIONES

Una vez identificado los niveles de susceptibilidad a inundación en el ámbito de las cuencas afectadas en la Figura 5 se procede a realizar el análisis de los niveles de exposición de la población, vivienda, establecimientos de salud e instituciones educativas a nivel de centros poblados.

De acuerdo al análisis de exposición y considerando el pronóstico se generó la Tabla 3, encontrándose que los departamentos con nivel de riesgo **Muy Alto** comprenden una población expuesta de 484231 habitantes; 144734 viviendas; 325 establecimiento de salud y 1855 instituciones educativas.

Los departamentos con nivel de riesgo **Alto** comprenden una población expuesta de 571960 habitantes; 177621 viviendas; 424 establecimientos de salud y 2258 instituciones educativas.

Figura 5. Escenario de riesgo por inundaciones en el ámbito del pronóstico de lluvia en la selva del 14 de junio del 2026



Fuente: CENEPRED

Tabla 3. Elementos expuestos por departamentos según su nivel de riesgo por inundación.

| Nivel de Riesgo | | Muy Alto | | | | | Alto | | | | |
|----------------------|----------------------|---------------------|---------------|---------------|-----------------|----------------------|------------------|---------------|---------------|-----------------|----------------------|
| | | Elementos expuestos | | | | | | | | | |
| DEPARTAMENTOS | | Centros Poblados | Población | Viviendas | Establec. Salud | Instituc. Educativas | Centros Poblados | Población | Viviendas | Establec. Salud | Instituc. Educativas |
| 1 | AMAZONAS | 97 | 15886 | 4453 | 30 | 172 | 44 | 10886 | 2998 | 16 | 102 |
| 2 | AYACUCHO | 4 | 635 | 284 | 0 | 0 | 20 | 9024 | 3288 | 8 | 37 |
| 3 | CUSCO | 62 | 18501 | 6167 | 26 | 82 | 75 | 51818 | 17839 | 33 | 165 |
| 4 | HUANUCO | 58 | 6787 | 2651 | 9 | 51 | 105 | 96940 | 28564 | 34 | 152 |
| 5 | JUNIN | 166 | 126721 | 37361 | 51 | 344 | 238 | 90442 | 30045 | 58 | 406 |
| 6 | LORETO | 271 | 29535 | 7790 | 35 | 380 | 449 | 59813 | 14893 | 91 | 663 |
| 7 | MADRE DE DIOS | 58 | 15747 | 5803 | 15 | 66 | 24 | 2419 | 926 | 12 | 24 |
| 8 | PASCO | 117 | 25799 | 8283 | 50 | 203 | 169 | 42352 | 14200 | 41 | 229 |
| 9 | PUNO | 15 | 3462 | 1111 | 3 | 13 | 4 | 538 | 304 | 0 | 4 |
| 10 | SAN MARTIN | 198 | 48808 | 14574 | 44 | 181 | 269 | 176833 | 55036 | 102 | 307 |
| 11 | UCAYALI | 257 | 192350 | 56257 | 62 | 363 | 127 | 30895 | 9528 | 29 | 169 |
| TOTAL GENERAL | | 1303 | 484231 | 144734 | 325 | 1855 | 1524 | 571960 | 177621 | 424 | 2258 |

Fuente: CENEPRED, elaborado con la información del INEI*, MINSA** y MINEDU***

*INEI: Cálculo de población y vivienda según Censos Nacionales 2017: XII de Población y VII de Vivienda

**MINSA: Base RENIPRESS, junio 026.

***MINEDU: ESCALE, junio 2026.